# **RM** DE CUERPO

Abdomen y gastrointestinal

**VOLUMEN 1** 

# RM DE CUERPO

# Abdomen y gastrointestinal

**VOLUMEN 1** 

Jorge Ahualli



Ahualli, Jorge

RM de cuerpo | Volumen 1: Abdomen y gastrointestinal / Jorge Ahualli. 1ª ed., Ciudad Autónoma de Buenos Aires: Journal, 2025.

v. 1, 410 p.; 20 x 14 cm.

ISBN 978-631-90909-0-1

1. Diagnóstico por Imagen. I. Título. CDD 616.0757

Producción editorial: Ediciones Journal S.A. Diagramación: Diego Stegmann

© Ediciones Journal, 2025 Viamonte 2146 1 "A" (C1056ABH) CABA, Argentina ediciones@journal.com.ar | www.edicionesjournal.com

Importante: Se ha puesto especial cuidado en confirmar la exactitud de la información brindada y en describir las prácticas aceptadas por la mayoría de la comunidad médica. No obstante, los autores, traductores, correctores y editores no son responsables por errores u omisiones ni por las consecuencias que puedan derivar de poner en práctica la información contenida en esta obra y, por lo tanto, no garantizan de ningún modo, ni expresa ni tácitamente, que esta sea vigente, íntegra o exacta. La puesta en práctica de dicha información en situaciones particulares queda bajo la responsabilidad profesional de cada médico.

Los autores, traductores, correctores y editores han hecho todo lo que está a su alcance para asegurarse de que los fármacos recomendados en esta obra, al igual que la pauta posológica de cada uno de ellos, coinciden con las recomendaciones y prácticas vigentes al momento de publicación. Sin embargo, puesto que la investigación sigue en constante avance, las normas gubernamentales cambian y hay un constante flujo de información respecto de tratamientos farmacológicos y reacciones adversas, se insta al lector a verificar el prospecto que acompaña a cada fármaco a fin de cotejar cambios en las indicaciones y la pauta posológica y nuevas advertencias y precauciones. Esta precaución es particularmente importante en los casos de fármacos que se utilizan con muy poca frecuencia o de aquellos de reciente lanzamiento al mercado.

Quedan reservados todos los derechos. No se permite la reproducción parcial o total, el almacenamiento, el alquiler, la transmisión o la transformación de este libro, en cualquier forma o por cualquier medio, sea electrónico o mecánico, mediante fotocopias, digitalización u otros métodos, sin el permiso previo y escrito de Ediciones Journal S.A. Su infracción está penada por las leyes 11.723 y 25.446.

Libro de edición argentina Impreso en India - Printed in India, 05/2025 Replika Press Pvt Ltd, Haryana, 131028

Queda hecho el depósito que establece la Ley 11.723 Se imprimieron 1500 ejemplares A mi querida e increíble esposa y compañera, María Laura, por su entereza y compañía inquebrantable durante toda mi carrera. Gracias a ella he cumplido metas jamás imaginadas.

A mis amados hijos, Jorge, María Rosario y Mariano. Deseo que mi pasión por la radiología y la docencia los inspire a realizar actividades gratificantes y emocionantes, y que su principal ambición sea siempre "hacer realidad sus sueños".

> A mis padres, por mostrarme el camino de la constancia, el compromiso y la integridad. En especial a mi padre, por transmitirme su interminable amor por la medicina y la docencia.

A todos ellos, estoy muy agradecido por su presencia en mi vida.

Mi reconocimiento especial al Centro Radiológico Méndez Collado (Tucumán, Argentina) de donde he tomado todas las imágenes de esta obra y, en particular, al Prof. Dr. Luis Méndez-Uriburu, mi querido y gran maestro.

"Libres son quienes crean, no quienes copian; y libres son quienes piensan, no quienes obedecen. Enseñar es enseñar a dudar".

Eduardo Galeano

La resonancia magnética (RM) se ha convertido en una herramienta diagnóstica altamente potente, versátil y esencial en la evaluación de un sinnúmero de entidades y procesos patológicos del abdomen y de la pelvis. Los avances en hardware y en software han ampliado el alcance de las aplicaciones clínicas a una velocidad impresionante y han extendido notablemente su empleo en el estudio y la evaluación de órganos del abdomen y de la pelvis.

Los numerosos cambios en los paradigmas de la resonancia magnética suelen representar un obstáculo no solo para los principiantes —quienes se enfrentan a una técnica ciertamente compleja y de permanente actualización—, sino también para los radiólogos más experimentados —quienes se encuentran ante el desafío de mantenerse actualizados mientras se desarrollan nuevas aplicaciones y surgen asombrosos avances—.

RM de cuerpo, compuesto por dos volúmenes, es el resultado de más de cinco años de trabajo. El objetivo principal ha sido familiarizar a la comunidad médica (en especial, residentes en Diagnóstico por Imágenes, fellows y radiólogos en ejercicio) con los hallazgos de RM de los diferentes órganos y los principales procesos patológicos del abdomen y de la pelvis. Luego de una sección inicial en donde se desarrollan temas generales relacionados con la RM, se abordan 380 enfermedades del abdomen y de la pelvis (incluyendo al sistema hepato-bilio-pancreático, al tracto gastrointestinal, al sistema urinario y al sistema genital femenino y masculino) con un enfoque simple y práctico. Cada uno de los temas desarrollados contiene aspectos generales de la patología, así como los hallazgos principales en las secuencias más elementales de resonancia magnética, lo que permite al lector disponer de información clara, precisa y concreta, acompañada de una gran cantidad de imágenes.

La obra incluye patologías frecuentes, esas a las que nos enfrentados a diario, y algunas otras que, si bien pueden resultar excepcionales, muestran hallazgos determinantes. Me he permitido agregar en alguno temas "notas para recordar", que dan cuenta de aspectos prácticos adquiridos en mi experiencia trabajando con resonancia magnética en pacientes en durante más de 20 años.

Mi deseo es que *RM de cuerpo* ayude al lector a incrementar sus conocimientos en el campo de la resonancia magnética de cuerpo, y que ese saber adquirido le permita realizar diagnósticos certeros que beneficien, finalmente, a sus pacientes.

# Índice

#### Prefacio | Dr. Jorge Ahualli / VII

#### Generalidades

- 1 Magnetos y tipos de imanes/3
- 2 Electroimán superconductor: componentes / 5
- 3 Antenas o bobinas / 7
- 4 Principios generales de la formación de la imagen en RM / 10
- 5 Otros aspectos en la formación de imagen en RM: tiempo de repetición y tiempo de eco / 15
- 6 Secuencias en RM / 18
- 7 Aspecto de la sangre en RM/22

# Abdomen y gastrointestinal

#### Abdomen / 29

- 8 Hígado / 29
  - 8.1 Hígado normal / 29
  - 8.2 Tumores hepáticos / 34
  - 8.3 Tumores benianos del hígado / 35
  - 8.4 Lesiones seudotumorales / 46
  - 8.5 Tumores malignos del hígado / 52
  - 8.6 Patología hepática difusa / 67
  - 8.7 Alteraciones vasculares / 88
- 9 Vesícula biliar / 97
  - 9.1 Vesícula biliar normal / 97
  - 9.2 Anomalías congénitas / 98
  - 9.3 Litiasis vesicular / 103
  - 9.4 Síndrome de Mirizzi / 106

- 9.5 Colecistitis aguda litiásica (no complicada) / 108
- 9.6 Colecistitis aguda alitiásica / 109
- 9.7 Colecistitis aguda complicada / 111
- 9.8 Perforación vesicular / 117
- 9.9 Colecistitis crónica / 119
- 9.10 Colecistitis xantogranulomatosa / 121
- 9.11 Colecistosis hiperplásicas / 124
- 9.12 Complicaciones poscolecistectomía / 129
- 9.13 Carcinoma vesicular / 132

#### 10 Vía biliar / 137

- 10.1 Colangiopancreatografía por RM: generalidades y modos de adquisición / 137
- 10.2 Vía biliar normal / 140
- 10.3 Variantes anatómicas de la vía biliar / 142
- 10.4 Litiasis ductal biliar / 146
- 10.5 Litiasis intrahepática (o hepatolitiasis) / 148
- 10.6 Aerobilia / 150
- 10.7 Colangitis aguda bacteriana / 152
- 10.8 Colangitis esclerosante primaria / 154
- 10.9 Colangitis esclerosante secundaria / 157
- 10.10 Colangitis biliar primaria / 159
- 10.11 Ouistes coledocianos / 161
- 10.12 Unión pancreato-biliar anormal / 165
- 10.13 Síndrome de Lemmel / 167
- 10.14 Compresión arterial pulsátil de la vía biliar / 168
- 10.15 Biliopatía portal / 169
- 10.16 Ascariasis biliar / 171
- 10.17 Complicaciones quirúrgicas / 172
- 10.18 Complicaciones posquirúrgicas / 176
- 10.19 Quiste hepático simple (quiste ductal biliar) / 182
- 10.20 Hamartoma biliar múltiple (complejos de von Meyenburg) / 185

- 10.21 Quistes peribiliares / 186
- 10.22 Cistoadenoma y cistoadenocarcinoma biliar / 188
- 10.23 Colangiocarcinoma / 190

#### 11 Páncreas / 201

- 11.1 Páncreas normal / 201
- 11.2 Desarrollo embriológico y anomalías congénitas del páncreas / 204
- 11.3 Reemplazo adiposo del páncreas / 211
- 11.4 Procesos inflamatorios del páncreas / 213
- 11.5 Tumores quísticos del páncreas / 234
- 11.6 Tumores sólidos del páncreas / 245

#### 12 Bazo / 265

- 12.1 Bazo normal / 265
- 12.2 Bazo accesorio / 267
- 12.3 Quiste esplénico y seudoquiste / 270
- 12.4 Hemangioma / 272
- 12.5 Esplenomegalia / 274
- 12.6 Cuerpos de Gamma-Gandy / 276
- 12.7 Infarto esplénico / 278
- 12.8 Absceso esplénico / 280
- 12.9 Linfoma esplénico / 282
- 12.10 Metástasis esplénica / 284
- 12.11 Aneurisma y seudoaneurisma de arteria esplénica / 286

- 13 Mesenterio, peritoneo, cavidad peritoneal y retroperitoneo / 289
  - 13.1 Conceptos generales / 289
  - 13.2 Mesenterio / 290
  - 13.3 Peritoneo / 294
  - 13.4 Retroperitoneo / 299
  - 13.5 Gasoma abdominal / 310

#### 14 Pared abdominal / 311

- 14.1 Hernias y defectos parietales / 311
- 14.2 Tumores y seudotumores de la pared abdominal / 322
- 14.3 Pubalgia del atleta / 333

#### Gastrointestinal / 336

- 15 Tracto gastrointestinal/336
  - 15.1 Tracto gastrointestinal / 336
  - 15.2 Esófago / 345
  - 15.3 Estómago / 346
  - 15.4 Duodeno / 349
  - 15.5 Intestino delgado / 359
  - 15.6 Intestino grueso / 376
  - 15.7 Recto y ano / 387

Índice de términos / 407

#### RM de cuerpo

Jorge Ahualli

#### Volumen 2 | Adrenal y genitourinario

- Generalidades
- Adrenal
- Urinario
- Genital masculino
- Genital femenino





Figura 3.3 Antenas de superficie. Aquí se muestran dos antenas de superficie que se colocan sobre el área de exploración. a Antena utilizada para evaluar la columna vertebral o pared abdominal. b Antena superficial comúnmente utilizada para evaluar la mano o la muñeca.



Figura 3.4 Antenas de volumen. Aquí se presentan dos antenas de volumen utilizadas para la evaluación de la cabeza o el cuello (a) y la rodilla (b). Estas son rígidas y rodean completamente el sector a evaluar.



Figura 9.2.7 Macrovesícula. Imagen coronal en T2 (a) y reconstrucción volumétrica (b) en un paciente de 1 año con dilatación quística congénita de la vía biliar (cabezas de flecha), correspondiente a un tipo IC de la clasificación de Todani. Nótese la vesícula biliar de forma normal, aunque francamente aumentada de longitud y volumen (flechas).

### 9.3 Litiasis vesicular

La litiasis vesicular es más frecuente en mujeres (2:1 en relación con el hombre). Los factores que incrementan su prevalencia son la terapia de reemplazo hormonal, los anticonceptivos orales y la obesidad. Es probablemente secundaria a la saturación de elementos biliares.

#### Pueden ser:

- Colesterínicas (75%-90%): constituidas por al menos un 50% de colesterol (componente principal), bilirrubina y sales de calcio.
- <u>Pigmentarias (10%-25%)</u>: compuestas predominantemente por bilirrubinato cálcico. El colesterol constituye solo el 25% de su estructura.

## Resonancia magnética

- Se presentan como formaciones de morfología diversa, límites netos y tamaño variable.
- El aspecto varía de acuerdo con el tipo de litiasis:
  - Litiasis colesterínica (Figura 9.3.1):
    - De isointensa a hipointensa en T1 e hipointensa en T2, en relación con el líquido vesicular.
  - Litiasis pigmentaria (Figura 9.3.2):
    - Hiperintensa en T1 (debido a la presencia de iones metálicos internos) e hipointensa en T2, en relación con el líquido vesicular.
- Si contienen proteínas macromoleculares, pueden presentar un área central de alta señal de intensidad rodeada por un anillo hipointenso en T1 y en T2, o con señal predominantemente alta en T1 (Figura 9.3.3).

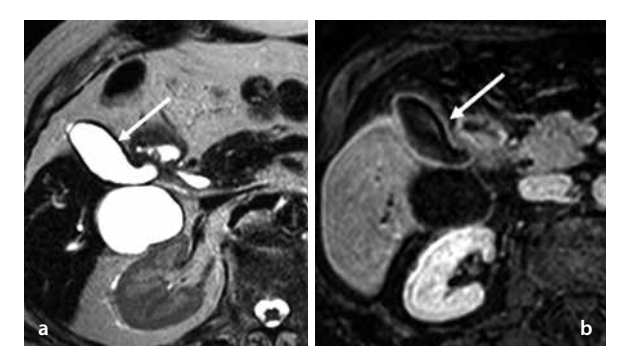


Figura 9.9.2 Comportamiento con el contraste. a Imagen axial en T2 (a) donde se observa la vesícula biliar con escasa distención y engrosamiento parietal de baja señal de intensidad (*flecha*). En fase tardía poscontraste (b), se reconoce un realce regular y retención debido al componente fibroso (*flecha*).

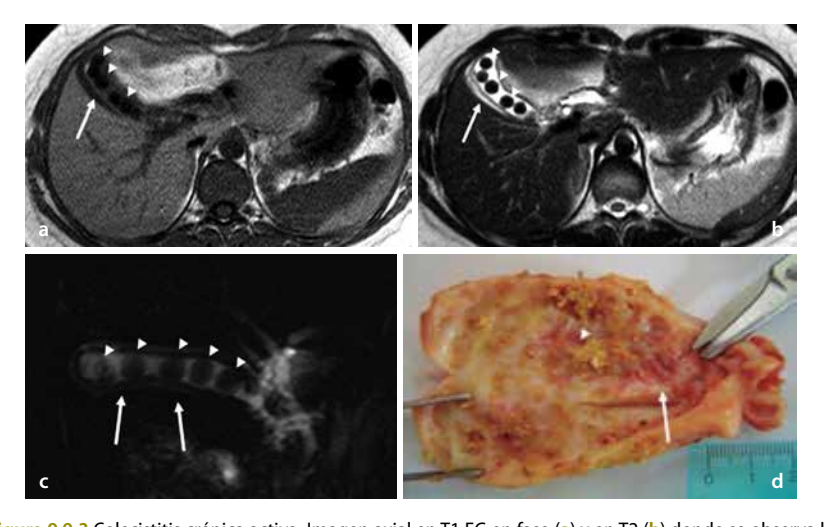


Figura 9.9.3 Colecistitis crónica activa. Imagen axial en T1 EG en fase (a) y en T2 (b) donde se observa la vesícula biliar escasamente distendida (*cabezas de flechas*), con un engrosamiento parietal, que muestra baja señal en fase y alta en T2 (*flechas*). La elevada señal de intensidad en T2 resulta determinante e indica edema parietal asociado. Estos cambios edematosos e inflamatorios parietales pueden también evidenciarse en CPRM de sección única (c). El examen macroscópico (d) muestra alteraciones inflamatorias focales (*flecha*) en una pared vesicular fibrótica. Nótese múltiples formaciones litiásicas vesiculares asociadas (*cabeza de flecha*).

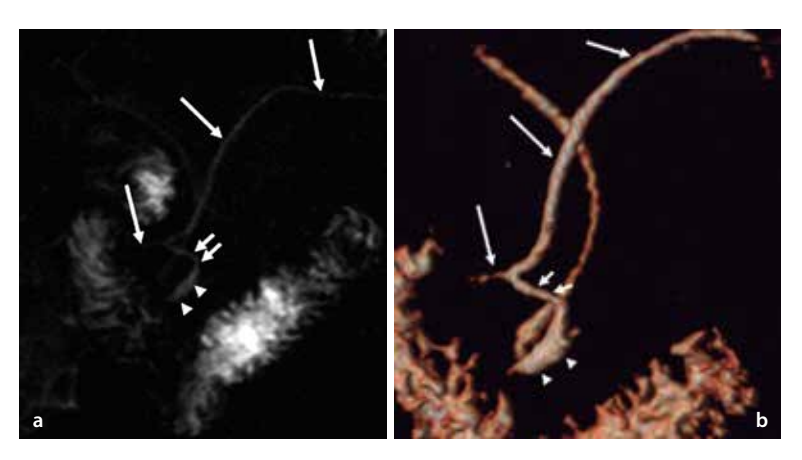


Figura 11.2.3 Páncreas divisum tipo III. Imagen de CPRM de sección única (a) y reconstrucción volumétrica (b) donde se observa el conducto dorsal (flechas largas), el cual desemboca en la papila menor. Existe un conducto ventral (cabezas de flechas) que se encuentra comunicado con el dorsal por un pequeño conducto (flechas cortas).

#### Páncreas anular

El páncreas anular es en una anomalía morfológica en la que el páncreas rodea parcial o completamente el duodeno. Se desarrolla como consecuencia de una falla en la rotación del brote ventral. En el 85% de los casos rodea la segunda porción duodenal, mientras que en el 15% restante se relaciona con la primera o tercera porción duodenal.

Puede presentarse de manera aislada o asociada a otras anomalías congénitas (p. ej., síndrome de Down, páncreas *divisum*, etc.). Puede ser asintomático (22%-33% de los adultos) o condicionar síntomas relacionados a pancreatitis (15%-30%), obstrucción duodenal (10% de los casos) y biliar.

- Resonancia magnética (Figura 11.2.4)
- El páncreas se presenta rodeando el duodeno (parcial o completamente), lo que será más evidente en secuencias T1.
- La cabeza del páncreas tiende a mostrarse aumentada de tamaño.
- En casos de páncreas anular incompleto, el tejido pancreático que rodea el duodeno tiene una configuración denominada en "mandíbula de cocodrilo" y se debe a la extensión anterolateral o posterolateral del páncreas en relación con el duodeno.
- El duodeno puede presentarse estenosado o no, y con dilatación proximal.
- En CPRM puede notarse el conducto pancreático principal que rodea el duodeno y se extiende anormalmente hacia su margen lateral derecho.

- Resonancia magnética (Figura 15.4.5)
- Se presenta con estenosis del esfínter de Oddi, que se manifiesta con:
  - Estenosis regular y concéntrica del extremo distal del colédoco.
  - La vía biliar se muestra dilatada (puede alcanzar los 12 mm).
  - Con menor frecuencia, el conducto pancreático se presenta dilatado.
  - No muestra un patrón anormal en secuencias de difusión de imagen ni luego de la administración de contraste EV.
- Ausencia de otra lesión o alteración (endoluminal, parietal o extramural) en el sitio desde donde se origina la obstrucción.

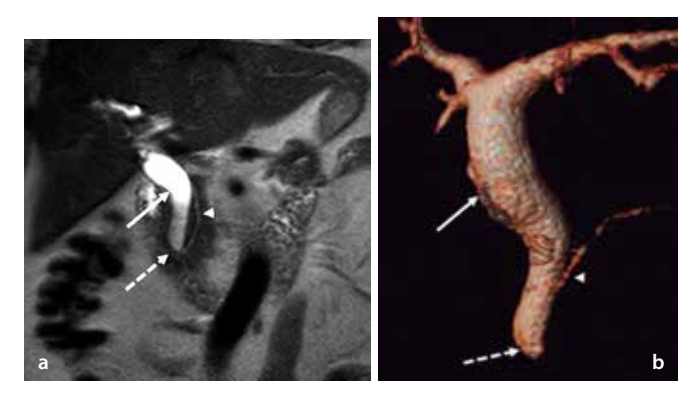


Figura 15.4.5 Disfunción del esfínter de Oddi. Imagen coronal en T2 (a) y reconstrucción volumétrica obtenida desde una CPRM de sección múltiple (b), donde se observa la dilatación de la vía biliar extrahepática (flechas). Esta se establece en la papila, donde se identifica una estenosis distal regular, bien definida (flechas punteadas), sin reconocerse alteraciones endoluminales ni parietales, lo que permite el diagnóstico de esta entidad. El conducto pancreático (cabezas de flechas) muestra características normales.

### **Tumores periampulares**

Incluye las neoplasias originadas a menos de 2 cm de la ampolla de Vater. Los tumores periampulares pueden originarse en:

- La porción intraampular del conducto colédoco (colangiocarcinoma).
- La porción intraampular del conducto pancreático (carcinoma pancreático).
- El canal común que forman ambos conductos.
- El epitelio papilar duodenal (carcinoma duodenal).
  La mayoría de estos tumores son adenocarcinomas.